

非线性 PID 控制器参数自整定的一种方法 ——二元控制系统方法*

王 伟 韩京清

(中国科学院系统科学研究所)

摘 要 本文考虑非线性 PID 控制器参数自整定问题。通过在非线性 PID 控制系统中引入二元控制系统,来实现 PID 控制器参数的自动调节。文中给出了设计思想、实现方法及理论分析。

关键词 非线性 PID 控制器,二元控制系统,参数自整定

1 前 言

PID 控制器由于其结构简单且有较强的鲁棒性等特点,至今仍广泛应用于过程控制之中。但在实际控制过程中如何调整其中的参数,并没有一种行之有效的方法,主要依靠经验人为地进行调节,因而经典 PID 控制器对工况的适应性较差。

于是近几年提出了多种改进方案,比如智能 PID 控制器^[1]及自适应 PID 控制器^[2]等。这些方法是根据判断和推理实时改变控制器参数,在线调整参数的自动化程度低。同时由于这些 PID 控制器采用的是相关信息(误差、误差积分、误差微分)的线性组合方式,常引出快速性与超调量之间的矛盾。文[3]则利用简单的非线性特性来改善经典 PID 调节器,得到了一种非线性 PID 控制器。这样的控制器不仅可有效地避免快速性与超调量之间的冲突,而且对于信号含有噪声或不可微的情况提供了有效的解决方法。但如何调整其中的参数使其达到理想的控制效果,文[3]并未给出一般的方法。

本文将在非线性 PID 控制系统中引入二元控制系统,以实现参数的自动调节。文中介绍了非线性 PID 控制器和二元控制系统及其设计思想,给出用二元控制系统实现参数自整定的设计思想及实现方法;给出理论分析,确定相应的参数的取值。理论分析和仿真结果表明本文给出的方法的有效性。

2 非线性 PID 控制器

对于不确定系统,为使
其输出 y (量测信号,且往往
含有噪声)能很好地跟踪某
一信号 y^* (可能不可微),
PID 控制是比较有效且实用
的办法。对于含有噪声或不
可微信号的情况,据[3],可

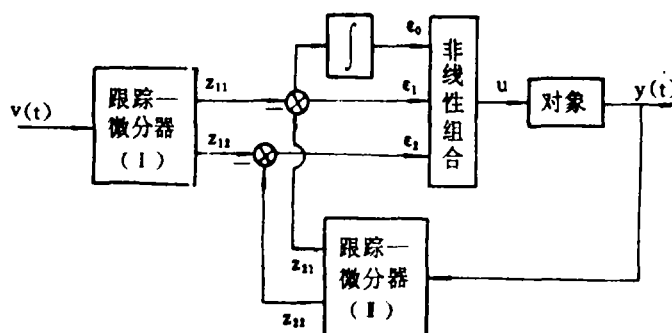


图1 非线性PID控制系统框图

* 本课题属国家自然科学基金资助项目

通过引入跟踪-微分器^[4]对有关信号进行“加工”(复原出原信号并得到“近似微分”信号)得到相应的积分、微分信号,并由这些信号进行适当的非线性组合构成非线性 PID 控制器,相应的控制系统结构框图如图 1 所示。其中控制量取为

$$u = \beta_0 |\epsilon_0|^{\alpha} \text{sign}(\epsilon_0) + \beta_1 |\epsilon_1|^{\alpha} \text{sign}(\epsilon_1) + \beta_2 |\epsilon_2|^{\alpha} \text{sign}(\epsilon_2) \quad (2.1)$$

且 $0 < \alpha \leq 1, \beta_1, \beta_2 > 0$ 。

文[3]表明,适当选择(2.1)中的 $\alpha, \beta_0, \beta_1, \beta_2$, 这样的控制器的鲁棒性和适应性是很强的。那么如何来实时调整其中的参数呢? 下面我们将通过二元控制系统来达到目的。

3 二元控制系统及其设计思想

在通常的控制系统中有许多变量及变量之间的转换关系,变量的转换或者变换是通过“环节(动态或静态)”来实现的。因此“环节”是“变换器”,也称作算子。在二元控制系统中,把代表系统运动状态的量叫作坐标变量,而“影响”、“调节”其中的环节(或算子)的量叫算子变量。把系统中变量划分为如此两类的这一原则叫做二元原则,体现二元原则的控制系统叫作二元控制系统^[4]。

二元控制系统的设计可以通过系统的误差 x (系统的实际输出与要达到的目标的差)与“性质误差”(系统的实际误差 x 与所要求的设定误差的差)这样两种因素共同调节系统以达到控制目的,其基本框图如图 2 所示。

图中“ \Rightarrow ”表示算子变量及流向,“ \rightarrow ”表示坐标变量及流向, S_y 是用来产生设定值 y' 的机构, S_x 是用来产生所希望的误差的机构, $x = y' - y$ 是系统的误差, $e = x' - x$ 中性质误差, R_u 是控制器, R_μ 是一动态环节,其作用是将性质误差 e 转变成算子变量 μ 来调节控制器 R_u , R_ρ 也是一动态环节,它将保证 S_x 改变形式以便于利用有限增益就能达到控制目的。当然对于一些特殊问题,上述框架会有一些适当增减。

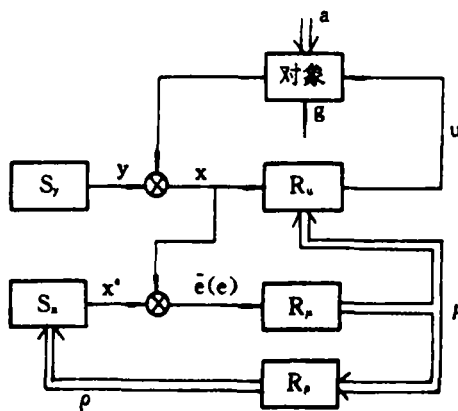


图 2 二元控制系统框图

4 非线性 PID 控制器参数自整定的设计思想及实现方式

为设计出用二元控制系统对非线性 PID 控制器中参数进行调节的控制系统,我们首先分析 PID 控制器中各成份在控制中的作用。

对于存在扰动(常值或时变)的系统,积分部分是作为一个伺服机构^[6],其作用是抵消扰动对系统的影响,而“P”和“D”的作用在于对不含扰动系统的镇定。据此,可引入一个反馈机制调节“I”部分的系数,使积分抵消扰动,同时引入另外的反馈机制,使其调节“P”、“D”部分的系数,以达到镇定不含扰动的系统的目的。于是我们得到如下控制系统框图(图 3)。

图中两个跟踪-微分器分别是对量测信号 y 及被跟踪信号 y' 进行“加工”的机构,即复原出其本身及相应的“近似微分”信号,这里不妨分别记为 y, \dot{y} 和 y', \dot{y}' 。 S_y, S_x 与 S_x' 是设定值机构,将分别产生被跟踪信号 y' 及所希望的误差 ϵ_1, ϵ_2 的变化方式。 R_{μ_1}, R_{μ_2} 是两个动态环节,将

分别产生变量 μ_1, μ_2 来调节“P”、“D”的系数及“I”的系数。

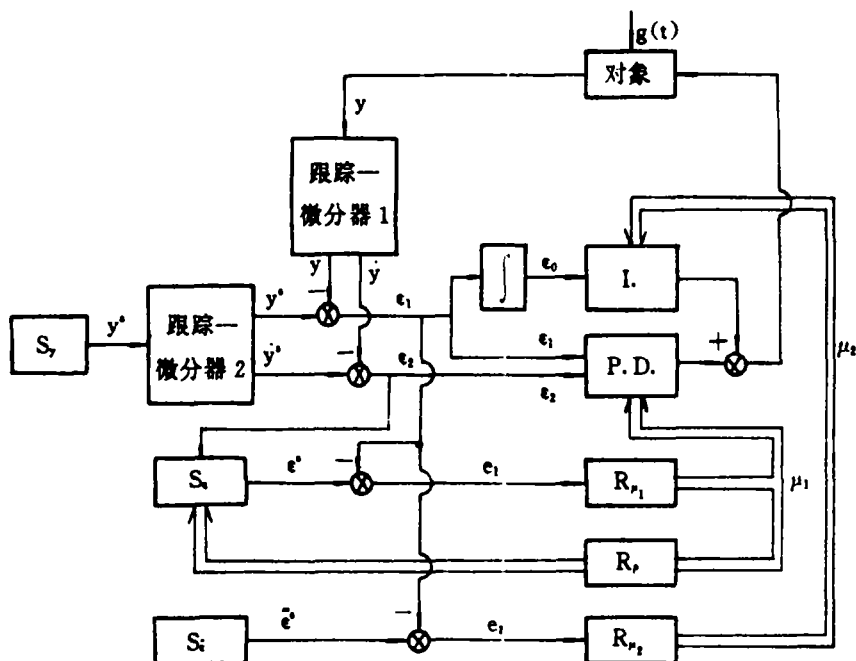


图3 非线性PID参数自适应系统框图

对上述控制系统，其实现可由下面的方式决定：

1) y, \dot{y} 及 y', \dot{y}' 分别由

$$\begin{cases} \dot{z}_1 = z_2 \\ \dot{z}_2 = R_1 g_1(z_1 - y, z_2 / \sqrt{R_1}) \end{cases} \quad (4.1)$$

和

$$\begin{cases} \dot{z}_3 = z_4 \\ \dot{z}_4 = R_2 g_2(z_3 - y', z_4 / \sqrt{R_2}) \end{cases} \quad (4.2)$$

决定。其中 g_1, g_2 的选取只要保证当 $y=y'=0$ ，且 $R_1=R_2=1$ 时，系统(4.1)，(4.2)的零解是渐近稳定的即可^[4]。

2) 在1)的基础上得到PID控制所需的三个量

$$\begin{cases} e_1 = y' - y \\ e_2 = \dot{y}' - \dot{y} \\ e_0 = \int_0^t [y'(\tau) - y(\tau)] d\tau \end{cases} \quad (4.3)$$

假定由 S_1 产生的信号为 e' ，这里我们取

$$e' = -ce_2, \quad c > 0 \quad (4.4)$$

则“性质误差” e_1 为

$$e_1 = -ce_2 - e_1 \quad (4.5)$$

根据(4.1)且假设系统的扰动项为 $g(t)$ ，则取 S_2 产生的信号 \bar{e}' ，使得“性质误差” e_2 为

$$e_2 = \beta_0 |\bar{e}'| \text{sign}(\bar{e}') + g(t) \quad (4.6)$$

由“性质误差” $e_1(e_2)$ 产生的算子变量 $\mu_1(\mu_2)$,这里取下面的形式

$$\dot{\mu}_i = \begin{cases} -\gamma_i \text{sign}(e_i) & |\mu_i| \leq 1, \quad i = 1, 2 \\ -\omega_i \mu_i & |\mu_i| > 1, \quad |\mu_i(t_0)| \leq 1 \end{cases} \quad (4.7)$$

由 $\mu_i(i=1,2)$ 对 $\beta_j(j=0,1,2)$ 的调节取下面的形式

$$\beta_0 = k_0^0 \mu_2 \text{sign}(e_0) \quad (4.8)$$

$$\beta_i = k_i^0 \mu_i \text{sign}(e_i) \quad (i = 1, 2) \quad (4.9)$$

这样在整个控制器中需要设计的参数为

$$R_1, R_2; \quad \gamma_1, \gamma_2; \quad k_0^0, k_1^0, k_2^0; \quad \omega_1, \omega_2; \quad \alpha$$

其中 α 可先取定,通常 $0 < \alpha \leq 1$; ω_1, ω_2 亦可以先决定,即取为非负的常数; R_1, R_2 则可根据量测信号和被跟踪信号的品质来定,通常当信号 y, y' 比较“光滑”时, $R_i(i=1,2)$ 的值可小一些,否则 $R_i(i=1,2)$ 取较大值;而 k_1^0, k_2^0 和 k_0^0 以及 γ_1, γ_2 的选择可以根据下面的分析结果来确定。对于一个系统,一旦对上述参数确定好之后,就可以实现在线自动调节。

5 主要分析结果

现对设计出的控制系统进行分析,即决定其中的设计参数,以达到自整定的目的。

考虑系统

$$\begin{cases} \dot{e}_1 = e_2 \\ \dot{e}_2 = f(e_1, e_2) + g(t) + u \end{cases} \quad (5.1)$$

其中 e_1 表示误差, e_2 表示误差微分, $g(t)$ 是扰动项, $f(0,0)=0$ 。

根据(4.8)、(4.9),引入二元控制系统之后控制量为

$$u = k_0^0 \mu_2 |e_0|^* + k_1^0 \mu_1 |e_1|^* + k_2^0 \mu_1 |e_2|^* \quad (5.2)$$

其中

$$e_0 = \int_0^t e(\tau) d\tau$$

为避免 e_0 为零时对扰动项失控的情形,我们引入一个“持续激励” δ 到控制量中,取

$$\bar{u} = k_0^0 \mu_2 (|e_0|^* + \delta) + k_1^0 \mu_1 |e_1|^* + k_2^0 \mu_1 |e_2|^* \quad (5.2)'$$

其中 μ_1 由(4.7)决定, μ_2 由下式决定

$$\dot{\mu}_2 = \begin{cases} -\gamma_2 \text{sign}[k_0^0 \mu_2 (|e_0|^* + \delta) + g(t)], & |\mu_2| \leq 1 \\ -\omega_2 \mu_2, & |\mu_2| > 1, \quad |\mu_2(t_0)| \leq 1 \end{cases} \quad (5.3)$$

定理1 若 μ_2 由(5.3)决定,则当

$$k_0^0 > \sup_{t \geq t_0} \left| \frac{g(t)}{\delta + |e_0|^*} \right| \quad (5.4)$$

$$\gamma_2 > \sup_{t \geq t_0} \left| \frac{\alpha k_0^0 |e_1| |e_0|^{*-1} + \dot{g}(t)}{k_0^0 (|e_0|^* + \delta)} \right| \quad (5.5)$$

时,存在有限时刻 t' ,使得当 $t \geq t'$ 时,有

$$k_0^0 \mu_2 (|e_0|^* + \delta) + g(t) = 0 \quad (5.6)$$

证明 若记

$$\bar{e}_2 = k_0^0 \mu_2 (|e_0|^* + \delta) + g(t) \quad (5.7)$$

且定义 $d|x|/dt = x \text{sign} x$,则有

$$\dot{\bar{e}}_2 = k_0^0 \dot{\mu}_2 (|e_0|^* + \delta) + \dot{g}(t) + k_0^0 \mu_2 \alpha |e_0|^{*-1} e_1 \text{sign}(e_0) \quad (5.8)$$

据(5.3)知, $|\mu_2| \leq 1$, 则

$$\dot{\mu}_2 = -\gamma_2 \text{sign}(\bar{e}_2) \quad (5.9)$$

因而当(5.5)成立时, 有

$$\bar{e}_2 \cdot \dot{\bar{e}}_2 \leq 0 \quad (5.10)$$

下面利用反证法证明, 存在有限时刻 t'_1 , $\bar{e}_2(t'_1) = 0$. 若 \bar{e}_2 恒不为零, 即 \bar{e}_2 保持符号, 则据(5.3)式, 在 $t \geq t'_1 + 2/\gamma_2$ 时有

$$\mu_2 = -\text{sign}(\bar{e}_2) \quad (5.11)$$

从而当(5.4)成立时, \bar{e}_2 与其本身符号相反, 故 $\bar{e}_2 = 0$ 矛盾.

根据以上分析, 知定理结论成立. (证毕)

下面仅考虑系统

$$\begin{cases} \dot{e}_1 = e_2 \\ \dot{e}_2 = f(e_1, e_2) + k_1^0 \mu_1 |e_1|^* + k_2^0 \mu_2 |e_2|^* \end{cases} \quad (5.12)$$

其中 μ_1 由(4.5)和(4.7)决定, 即

$$\mu_1 = \begin{cases} -\gamma_1 \text{sign}(e_1), & |\mu_1| \leq 1 \\ -\omega_1 \mu_1, & |\mu_1| > 1, \quad |\mu_1(t_0)| \leq 1 \end{cases} \quad (5.13)$$

取 $\bar{G}_0 = \{(e_1, e_2) : |e_1| \leq \delta_0 l_1 |e_1| + \delta_0 l_2 |e_2|\}$

其中 $0 < l_i \leq 1$ 且 $0 < \delta_0 < 1$. $G_0 = \{(e_1, e_2) : e_1(e_1, e_2) = 0\}$.

记 $l_M = \max(l_1, l_2)$, 且 $\bar{e} = (e_1, e_2)$.

类似于对含有未知参数的线性模型的分析方法^[5], 我们对(5.12)和(5.13)组成的系统采取如下步骤:

- 1) 给出当 $\bar{e} \in \bar{G}_0$ 时, 系统(5.12)稳定的条件;
- 2) 决定 \bar{G}_0 是 G_0 不变的条件;
- 3) 决定 \bar{G}_0 吸引的条件.

通过问题1)–3)的解决, 可知系统(5.12)稳定的条件. 从而亦可以确定相应的设计参数的取值.

由(5.12)及(5.13)决定的系统是由右边不连续的微分方程描述, 故系统的解的定义, 延拓按[7]中解的意义来理解. 同时由(5.13)知, $|\mu_1| \leq 1 (t \geq t_0)$. 以下仅考虑如下形式的解, 即 $(\bar{e}, \mu_1) : |\mu_1| \leq 1$, 这里称这样的解为 V-解.

定理 2^[5] 对于正常数 C 和 δ_0 , 若不等式

$$\delta_0 l_M < C \quad (5.14)$$

且系统(5.12)的每一 V-解 $(\bar{e}, \mu_1(t))$, 当 $t > t_0$ 时, 均有 $\bar{e}(t) \in \bar{G}_0$, 则当

$$\delta_0 < \frac{C}{l_M(C+2)} \quad (5.15)$$

时, 系统(5.12)的任意 V-解, 均有

$$\lim_{t \rightarrow \infty} \|\bar{e}(t)\| = 0$$

定理 3 对于由(5.12)及(4.7)决定的系统, 若下面的关系成立

$$\gamma_1 > \frac{2}{\delta} \sup_{t_0, t \neq t_0} \left| \frac{\bar{C}f + (1 - \lambda \delta_0 l_1 \text{sign}(e_1))e_2 + \bar{C}k_1^0 |e_1|^* + \bar{C}k_2^0 |e_2|^*}{\delta_0 l_1 |e_1| + \delta_0 l_2 |e_2|} \right| \quad (5.16)$$

其中 $\bar{C} = C - \lambda \delta_0 l_1 \text{sign}(e_2)$, 且 $|\lambda| \leq 1$. 同时当 $|\lambda| = 1$ 时有

$$\min_i \{k_i^0, i = 1, 2\} > \sup_{\substack{e_1, e_2 \\ e_1 \neq 0, e_2 \neq 0}} \left| \frac{\tilde{C}f(e_1, e_2) + e_2(1 - \tilde{\lambda}\delta_0 l_1 \text{sign} e_1)}{\tilde{C}(|e_1|^* + |e_2|^*)} \right| \quad (5.17)$$

则对于系统(5.12), 集 \bar{G}_0 是 G_0 不变的。(证明略)

定理 4 如果 G_0 对变结构系统(VS)

$$\begin{cases} \dot{e}_1 = e_2 \\ \dot{e}_2 = f(e_1, e_2) - (k_1^0 |e_1|^* + k_2^0 |e_2|^*) \text{sign}(e_1) \end{cases} \quad (5.18)$$

是 Q 吸引的, 则集 \bar{G}_0 对(5.12)是吸引的。

证明 根据(5.13)不难知道, 若 e_1 恒不为零, 则系统(5.12)与(5.18)是等价的。然后利用 VS 理论^[8], 不难验证定理结论成立。(证毕)

定理 5 集合 G_0 对变结构系统(5.18)是 Q 吸引的, 如果关系式(5.17)在 $\tilde{\lambda}=0$ 时成立。

证明 对于系统(5.18)有

$$\dot{e}_1 = Cf(e_1, e_2) + e_2 - C(k_1 |e_1|^* + k_2 |e_2|^*) \text{sign}(e_1)$$

故当定理条件被满足时有

$$\dot{e}_1 e_1 \leq 0$$

故定理结论成立。

从上面的结论可知, 对于一个系统先对其对象的变化范围(而不是模型本身的状态)有一个估计, 然后根据上述定理即可以确定相应的设计参数, 最终实现对系统的调节。因而上述方法对不确定系统是有效的。

6 结束语

本文将二元控制系统用于非线性 PID 控制系统, 给出了实现非线性 PID 参数自整定的设计方法及相应的分析结果。理论分析和仿真结果均表明这种方法的有效性。尤其要强调的是, 这样的控制系统对于有界扰动或快速时变参数的调节是相当有效的。

参考文献

- [1] Åström, K. J., et al., Towards Intelligent PID Control, *Automatica*, Vol. 28, No. 1, 1992, 1-9
- [2] 蒋新华, 自适应 PID 控制(综述), 信息与控制, 第 5 期, 1988 年, 41-49
- [3] 韩京清, 非线性 PID 控制器, 自动化学报(已录用)
- [4] 韩京清, 王伟, 非线性跟踪-微分器, 92 全国智能控制与自适应控制理论与应用研讨会论文集, 1992 年, 西安
- [5] Emelyanov, S. V., *Binary Control Systems* (Moscow, Mir), 1988
- [6] Tseng, H. C., Error-feedback Servomechanism in Non-linear Systems, *Int J. Control*, Vol. 55, No. 5, 1992, 1093-1114
- [7] Filippov, A. F., *Differential Equations with Discontinuous Rightside Sides*, Kluwer Academic Publishers, 1988
- [8] Utkin, V. L., *Variable Structure Systems with Sliding Modes*, *IEEE Trans. Auto. Contr.* Vol. 22, 1977, 212-222